

# ДОПОЛНИТЕЛЬНЫЕ ГЛАВЫ ТЕОРИИ ПЛАЗМЫ

А.Д.Беклемишев  
НГУ, 2004

5 апреля 2011 г.

## Макроскопические коэффициенты переноса

Известно, что если взять моменты кинетического уравнения, то получим уравнения магнитной гидродинамики. Например, нулевой момент даёт уравнение непрерывности:

$$\int \left[ \frac{df}{dt} - St(f) \right] d^3v = \frac{dn}{dt} + \operatorname{div} n\mathbf{u} = 0, \quad (1)$$

если нет источников частиц. А где же диффузия?

Дело в том, что поток частиц, который определяется по функции распределения как

$$n\mathbf{u} = \int \mathbf{v} f d^3v, \quad (2)$$

содержит как конвективную, так и диффузионную часть, т.е., такую, которая пропорциональна *градиенту* концентрации  $n$  и зависит от частоты столкновений

$$n\mathbf{u} = n\mathbf{u}_0 + \mathbf{F}. \quad (3)$$

Разделение потока на конвективный и диффузионный производится достаточно легко, если функция распределения близка к локально-максвелловской. Тогда скорость  $\mathbf{u}_0$  – это та функция координат, которая стоит в экспоненте сдвинутого максвелловского распределения

$$f_M = n \left( \frac{m}{2\pi T} \right)^{3/2} \exp \left[ -\frac{m(\mathbf{v} - \mathbf{u}_0)^2}{2T} \right]. \quad (4)$$

Тем не менее, строго говоря разделение – неоднозначно.

Отличие точной функции распределения от локально-максвелловской в первом приближении пропорционально эффективной длине свободного пробега,  $\lambda$ . Таким образом,  $\mathbf{F} \propto \lambda \nabla n, \lambda \nabla T, \lambda \nabla \mathbf{u}_0$ , но могут быть и слагаемые пропорциональные градиентам других равновесных параметров, например,  $\lambda \nabla \varphi, \lambda \nabla B$ .

В линейном приближении

$$F_\alpha = D_{\alpha\beta}^{(n)} \frac{\partial n}{\partial x_\beta} + D_{\alpha\beta}^{(T)} \frac{\partial T}{\partial x_\beta} + D_{\alpha\beta\gamma}^{(u)} \frac{\partial u_\beta}{\partial x_\gamma} + F_\alpha^{(pinch)}. \quad (5)$$

Первые два коэффициента переноса  $D_{\alpha\beta}^{(n)}$ ,  $D_{\alpha\beta}^{(T)}$ , называются коэффициентами диффузии и термодиффузии соответственно, третий коэффициент,  $D_{\alpha\beta\gamma}^{(u)}$ , может появляться только в замагниченной плазме с градиентом скорости, а последнее слагаемое пропорционально градиентам полей, и называется пинчем.

Аналогично, для тензора плотности потока импульса можно найти поправки

$$\Pi_{\alpha\beta}^{(diss)} = R_{\alpha\beta\gamma}^{(n)} \frac{\partial n}{\partial x_\gamma} + R_{\alpha\beta\gamma}^{(T)} \frac{\partial T}{\partial x_\gamma} + R_{\alpha\beta\gamma\delta}^{(u)} \frac{\partial u_\gamma}{\partial x_\delta} + R_{\alpha\beta}^{(fric)}. \quad (6)$$

В изотропной среде (без магнитного поля) первые два слагаемых зануляются автоматически, а третье - сводится к тензору вязкости. Последнее слагаемое описывает силу трения либо о поля (напр. в ГОЛ-3), либо о другие сорта частиц.

Для вектора плотности потока энергии

$$S_\alpha^{(diss)} = \chi_{\alpha\beta}^{(n)} \frac{\partial n}{\partial x_\beta} + \chi_{\alpha\beta}^{(T)} \frac{\partial T}{\partial x_\beta} + \chi_{\alpha\beta\gamma}^{(u)} \frac{\partial u_\beta}{\partial x_\gamma} + S_\alpha^{(pinch)}. \quad (7)$$

Может оказаться так, что изменение равновесия на длине свободного пробега - не мало. В частности, длина свободного пробега может быть длиной пробега *волны*. Тогда, раскладывать гидродинамические потоки в ряд по малости  $\lambda \nabla$  - нельзя. В этом случае говорят о *нелокальности* переносов, уравнения становятся интегральными:

$$F_{\alpha} = \int D_{\alpha\beta}^{(n)}(\mathbf{x}, \mathbf{x}') n(\mathbf{x}') d^3x' + \dots \quad (8)$$

- В термоядерной плазме переносы почти всегда существенно нелокальны, однако на практике из-за сложности интегрального представления их описывают в локальном приближении.
- Разделение потоков на конвективную и диффузионную часть существенно неоднозначно. Например, можно говорить либо о диффузии магнитного поля в плазму ( $F_\alpha = 0$ ), либо о диффузии плазмы сквозь магнитное поле ( $F_\alpha \neq 0$ ), причём оба описания - эквивалентны.
- Уравнения Брагинского представляют собой достаточно полный результат вычисления коэффициентов переноса для столкновительной плазмы.

Формальный вывод коэффициентов переноса в столкновительной среде основан на разложении функции распределения вблизи локально-максвелловской.

1. В методе Чэпмена-Энскога разложение происходит по полиномам Сонина-Лагерра:

$$f = f_M \left( 1 + \sum_{i=1}^{\infty} A_i S_{3/2}^i \left( \frac{v^2}{v_T^2} \right) \right), \quad (9)$$

$$S_r^i(z) = \sum_{k=1}^i (-z)^k \frac{\Gamma(r+i+1)}{\Gamma(r+k+1) k! (i-k)!}. \quad (10)$$

Коэффициенты  $A_i$  ищутся путём последовательной подстановки в кинетическое уравнение с интегралом столкновений, а потом по ним можно найти все потоки. По крайней мере для нейтрального газа ряд очень быстро сходится.

2. В методе Грэда разложение происходит просто по степеням скорости

$$f = f_M (1 + a_i v_i + b_{ik} v_i v_k + \dots). \quad (11)$$

В газе разложение Грэда сходится хуже, однако в плазме (с интегралом столкновений Ландау) сходимость методов - сравнима.



## Траектории частиц и кинетическое равновесие в токамаке

Если плазма достаточно горячая, её в первом приближении можно считать бесстолкновительной. Как мы видели, равновесная функция распределения в бесстолкновительной плазме может быть только функцией интегралов движения. Посмотрим, что это означает для плазмы токамака.

Если ларморовский радиус мал по сравнению с размером неоднородности поля, то сохраняется адиабатический инвариант - магнитный момент частицы. Кроме того, в квазистационарном случае сохраняется энергия, и, из-за осевой симметрии токамака, сохраняется азимутальная компонента обобщённого импульса. Итак, равновесная функция распределения может быть любой функцией вида

$$f = f_0(\mu, \varepsilon, P_\zeta), \quad (12)$$

где

$$P_\zeta = mR^2\dot{\zeta} + \frac{q}{c}RA_\zeta(\mathbf{r}) \quad (13)$$

- азимутальный импульс частицы, а угол  $\zeta$  отсчитывается вокруг большого обхода тора, а  $R$  - радиус от оси симметрии тора.



Одновременное наличие трёх независимых интегралов движения означает, что траектория частицы полностью определяется ими. Вся траектория - в фазовом пространстве и шестимерна. Если нас интересует форма этой траектории в реальном пространстве, то скоростные переменные можно исключить с помощью сохранения  $\mu, \varepsilon$ . В частности, продольная скорость

$$v_{\parallel} = \sigma \sqrt{\frac{2}{m} (\varepsilon - q\varphi_0(\mathbf{r}) - \mu B(\mathbf{r}))}, \quad \sigma = \pm 1. \quad (14)$$

Здесь  $\varphi_0(\mathbf{r})$  - электростатический потенциал в равновесии. Продольная скорость - скорость вдоль силовой линии магнитного поля, так что большая часть азимутальной угловой скорости  $\dot{\zeta}$  (в нулевом приближении по отношению дрейфовой скорости к тепловой) содержится в  $v_{\parallel}$ :

$$\dot{\zeta} = v_{\parallel} \cos \chi / r = v_{\parallel} \frac{B_{\zeta}}{RB}, \quad (15)$$

где  $\chi$  - угол наклона силовой линии. Таким образом, траектория должна лежать на поверхности

$$P_{\zeta} = \frac{RB_{\zeta}}{B} \sigma \sqrt{2m(\varepsilon - q\varphi_0(\mathbf{r}) - \mu B(\mathbf{r}))} + \frac{q}{c} A_{\zeta}(\mathbf{r}) = \text{const}. \quad (16)$$

В осесимметричной системе дрейфовая поверхность - тороидальная поверхность вращения. Её можно найти приближённо в пределе малой тороидальности системы (тонкий тор круглого сечения). В этой модели можно считать

$$B = B_0 [\mathbf{e}_\zeta + \Theta \mathbf{e}_\theta] / (1 + \epsilon \cos \theta), \quad (17)$$

где  $R = R_0 (1 + \epsilon \cos \theta)$ ,  $R_0$  - радиус магнитной оси,  $\theta$  - полоидальный угол,  $\epsilon = r/R_0 \ll 1$  - тороидальность,  $\Theta \sim \epsilon$  - угол наклона силовых линий на магнитной поверхности.



Рис. 4. Траектория ведущего центра («банан»).

Теперь, дрейфовая поверхность задаётся в виде

$$P_\zeta \approx m v_{\parallel} (1 + \epsilon \cos \theta) - \frac{q}{c} \int_0^r B_\theta dr = \text{const.} \quad (18)$$

Разложение вблизи точки  $(r_0, 0)$  (на экваторе) даёт сечение дрейфовой поверхности в виде

$$0.5\Omega\Theta^2 (r - r_0)^2 + \Delta v_{\parallel} \Theta (r - r_0) - v_g r_0 (\cos \theta - 1) = 0, \quad (19)$$

где  $\Delta v_{\parallel} = v_{\parallel}(r_0, 0) + v_E/\Theta$ ,  $v_g = (\mu B_0 + m v_{\parallel}^2) / m \Omega R_0$ .

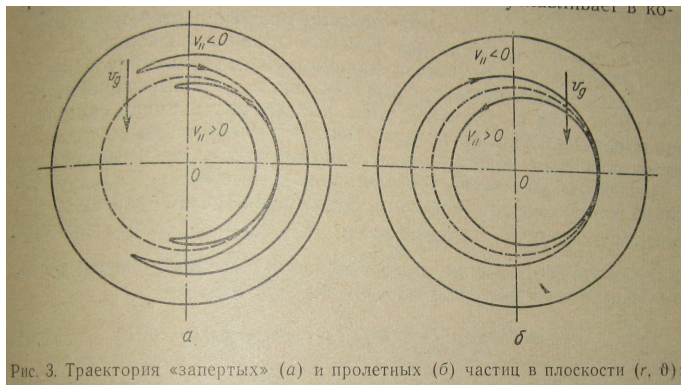
$$r - r_0 = \frac{1}{\Omega\Theta} \left[ -\Delta v_{\parallel} \pm \sqrt{\Delta v_{\parallel}^2 + 2\Omega v_g r_0 (\cos \theta - 1)} \right]. \quad (20)$$

Если

$$\Delta v_{\parallel}^2 < 4\Omega v_g r_0 \quad (21)$$

- частицы запертые, если больше - пролётные.

Положительно заряженные пролётные частицы обходят магнитную ось против часовой стрелки и отклоняются внутрь от магнитной поверхности, если  $\Delta v_{\parallel} > 0$ .



Если нашей целью является функция распределения кинетического равновесия при наличии слабых столкновений, то она должна быть не только функцией интегралов движения, но и локально максвелловской:

$$f = n \left( \frac{m}{2\pi T} \right)^{3/2} e^{-\frac{\epsilon}{T}}, \quad (22)$$

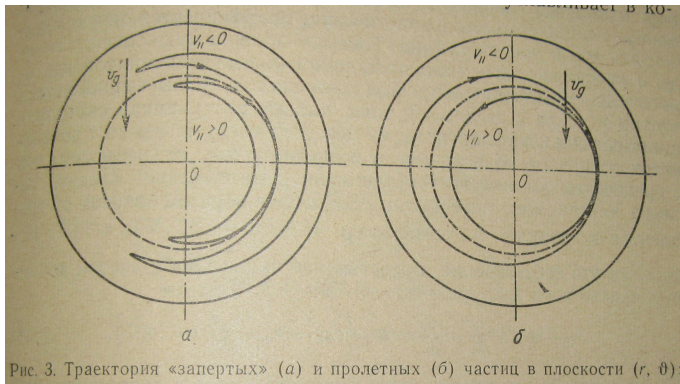
где  $n$ ,  $T$  - функции пространственных переменных, выраженных через интегралы движения. У запертых частиц распределение сдвинуто на величину, разную по знаку для электронов и ионов

$$u_{\parallel} = -\frac{cT}{qn_0 B_0} \frac{dn_0}{dr}, \quad (23)$$

где

$$n_0 = n \left( \frac{q}{c} \int_0^r B_{\theta} dr \right). \quad (24)$$

Причина сдвига в том, что в одну и ту же точку попадают частицы с внешних и внутренних банановых траекторий (в зависимости от знака  $\Delta v_{\parallel}$ ), а из-за радиальной неоднородности плотности, их разное число. Поэтому есть асимметрия по тороидальной скорости, причём в разную сторону в зависимости от знака заряда.





Оценим среднюю скорость запертых частиц относительно пролётных.

- превышение плотности частиц с продольной скоростью  $\Delta v_{\parallel}$  над симметричными

$$\Delta n = -\frac{dn_0}{dr}\delta \approx -\frac{dn_0}{dr}v_{dr}\frac{2\pi r}{\Delta v_{\parallel}\Theta} \approx \rho\sqrt{\epsilon}/\Theta, \quad (25)$$

- излишек частиц движется с  $\Delta v_{\parallel}$  это всё равно, что все частицы имеют скорость

$$u_{\parallel} \sim \Delta v_{\parallel} \frac{\Delta n}{n} \approx \epsilon \frac{cT}{qn_0 B_{\theta}} \frac{dn_0}{dr}. \quad (26)$$

- Оценим силу трения запертых частиц о пролётные:

$$F \sim \sqrt{\epsilon} \left( \frac{\nu}{\epsilon} \right) n_0 m u_{\parallel} \sim \sqrt{\epsilon} \nu m \frac{cT}{qB_{\theta}} \frac{dn_0}{dr}. \quad (27)$$

Здесь множитель  $\sqrt{\epsilon}$  учитывает долю запертых частиц, а эффективная частота столкновений соответствует рассеянию на угол  $\epsilon$ .

- В изотермической плазме пролётные ионы движутся вместе с запертыми ионами, так как здесь обмен импульса наиболее эффективен. А запертые электроны трутся о пролётные, и все вместе - о ионы. Баланс сил даёт

$$\nu_{ee} \sqrt{\epsilon} n m_e (u_{\parallel e} - u_{\parallel i}) + \nu_{ei} m_e j_{\parallel} / e = 0. \quad (28)$$

Появляется бутстрэп-ток

$$I_{\parallel b} = -\sqrt{\epsilon} \frac{c}{B_{\theta}} \frac{dp}{dr}. \quad (29)$$

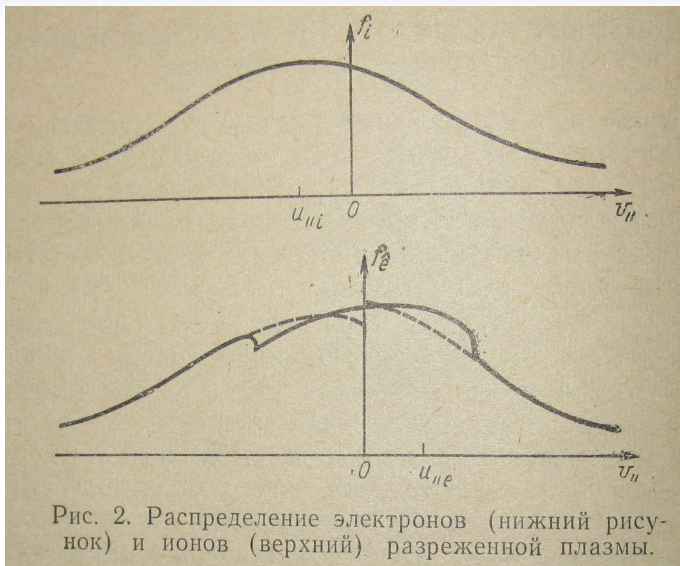








Рис. 2. Распределение электронов (нижний рисунок) и ионов (верхний) разреженной плазмы.

- Трение электронов о ионы приводит к затуханию торможению бутстрэп-тока, а значит - дрейфу плазмы наружу! Скорость дрейфа находится из баланса сил вдоль тора

$$\langle nv_r \rangle = -(\nu_{ee} + \nu_{ei}) \sqrt{\epsilon} \frac{\rho^2}{\Theta^2} \frac{dn_0}{dr}. \quad (30)$$

Это - неоклассическая диффузия.

-  Климонтович Ю.Л. "Статистическая физика" М.: Наука, 1982
-  Ишимару С. "Основные принципы физики плазмы" М.: Атомиздат, 1975
-  Галеев А.А., Сагдеев Р.З. "Неоклассическая' теория диффузии в сб. Вопросы теории плазмы т .7, с.205, М.: Атомиздат, 1973
-  Морозов А.И., Соловьёв Л.С. "Движение заряженных частиц в электромагнитных полях в сб. Вопросы теории плазмы т .2, с.177, М.: Атомиздат, 1963
-  Заславский Г.М., Сагдеев Р.З. "Введение в нелинейную физику М.: Наука, 1988
-  Кадомцев Б.Б. "Турбулентность плазмы" в сб. Вопросы теории плазмы т .4, с.188, М.: Атомиздат, 1964